

## FAZE V KVAZIKRISTALNI ZLITINI $\text{Al}_{64,4}\text{Cu}_{22,5}\text{Fe}_{13,1}$

## PHASES IN A QUASICRYSTALLINE ALLOY $\text{Al}_{64,4}\text{Cu}_{23,5}\text{Fe}_{13,1}$

Tonica Bončina<sup>1</sup>, Boštjan Markoli<sup>2</sup>, Ivan Anžel<sup>1</sup>, Franc Zupanič<sup>1</sup>

<sup>1</sup>Univerza v Mariboru, Fakulteta za strojništvo, Smetanova 17, SI-2000 Maribor, Slovenija

<sup>2</sup>Univerza v Ljubljani, Naravoslovno-tehniška fakulteta, Aškerčeva 12, SI-1000 Ljubljana, Slovenija  
tonica.boncina@uni-mb.si

Prejem rokopisa – received: 2007-09-24; sprejem za objavo – accepted for publication: 2007-10-18

V ternarnem sistemu Al-Cu-Fe se pojavlja t. i. *i*-faza (ikozaedrični kvazikristal), ki je termodinamsko ravnotežna faza in s tem sestavni del ravnotežnega faznega diagrama. Na enofazno področje *i*-faze meji veliko število intermetalnih faz, ki so lahko glede na sestavo zlitine, razmere pri strjevanju in toplotni obdelavi v stabilnem ali metastabilnem ravnotežju z *i*-fazo. Sinteza enofazne kvazikristalne zlitine je mogoča samo v ozkem koncentracijskem območju in pri primerem načinu toplotne obdelave, zato je poznanje in ugotavljanje faz ključnega pomena. V raziskavi smo izdelali zlitino  $\text{Al}_{64,4}\text{Cu}_{22,5}\text{Fe}_{13,1}$  in vzorce toplotno obdelali na različne načine. Posamezne faze in druge mikrostrukturne značilnosti smo ugotovili z ustrezno metalografsko pripravo vzorcev in metodami svetlobne mikroskopije (SM), vrstične elektronske mikroskopije (SEM), mikrokemične analize (EDS), rentgenske fazne analize (XRD), presevne elektronske mikroskopije (TEM) ter z merjenjem mikrotrdote. Faze smo ločevali tudi glede na njihovo morfologijo in mikrotrdoto (nanoidentifikacija). Prisotnost *i*-faze smo potrdili z metodama XRD in TEM.

Ključne besede: Al-Cu-Fe, kvazikristal, metalografija

In the ternary system Al-Cu-Fe an *i*-phase (icosahedral quasicrystal) is present. It is thermodynamically stable and a part of the equilibrium phase diagram. However, according to the chemical composition and conditions during the solidification and heat treatment, a considerable number of intermetallic phases can be in stable or metastable equilibrium with the *i*-phase. Consequently, synthesis of onephase quasicrystalline alloy is possible only in a narrow concentration range and after appropriate heat treatment.

In the investigation, alloy  $\text{Al}_{64,4}\text{Cu}_{22,5}\text{Fe}_{13,1}$  was synthesized and heat treated to increase the fraction of the *i*-phase. The presence of phases and other microstructural characteristics were determined using appropriate metallographic preparation methods, light microscopy (LM), scanning electron microscopy (SEM), microchemical analyses (EDS), X-ray diffraction (XRD), transmission electron microscopy (TEM) and microhardness measurements. The presence of quasicrystalline phase *i* was clearly confirmed using XRD and TEM.

Key words: Al-Cu-Fe, quasicrystal, metallography

### 1 UVOD

Leta 1984 so Shechtman in sodelavci<sup>1</sup> objavili članek o novi snovi, ki ima poseben elektronski uklonski vzorec – red dolgega dosega, vendar brez periodičnosti. To snov so kasneje poimenovali kvazikristalna snov. H. R. Trebin v knjigi Quasicrystals<sup>2</sup> trdi, da je kvazikristalno stanje tretje stanje trdnih snovi poleg kristalnega in amorfnegra. Atomi so urejeno razporejeni, toda z rotacijskimi simetrijskimi, ki imajo pet-, osem-, deset- ali dvanajststevne osi, ki jih nimajo snovi v kristalnem stanju.

Številne raziskave kvazikristalnih faz temeljijo na poglobljenem študiju tvorbe teh faz v zlitinah Al-Cu-Fe, saj so elementi, ki jih sestavljajo lahko dostopni, poceni in niso strupeni. Poleg tega spada zlitina Al-Cu-Fe med najbolj primerne za preučevanje nastanka kvazikristalnih faz, s tem pa tudi možnosti za uporabo kvazikristalnih zlitin. Velika verjetnost nastanka kompleksnih ternarnih spojin v zlitinah Al-Cu-Fe namreč izhaja že iz konstitucije robnih binarnih zlitinskih sistemov z večjim številom binarnih intermetalnih spojin.

Kristalografske značilnosti spojin v sistemu Al-Cu-Fe v območju *i*-faze so navedene v tabeli 1. Ugotovljeno je, da v ternarnem sistemu nastopa poleg kristalnih

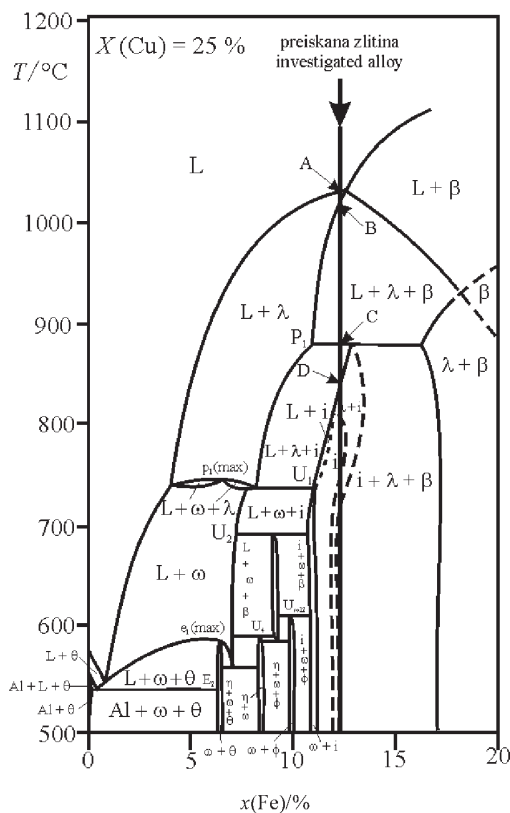
intermetalnih spojin tudi kvazikristalna *i*-faza, za katero je značilna ploskovno centrirana ikozaedrična kvazikristalna zgradba (FCI)<sup>3</sup>. Ta faza nastaja v skladu s ternarno peritektično reakcijo  $L + \lambda + \beta \rightarrow i$  pri temperaturi 882 °C, kjer ima talina sestavo v točki P<sub>1</sub>, kar je razvidno iz vertikalnega prereza ternarnega sistema zlitine Al-Cu-Fe pri  $x(\text{Cu}) = 25\%$  Cu (slika 1). Konstitucija vertikalnega prereza ternarnega sistema Al-Cu-Fe pri konstantni koncentraciji bakra ( $x(\text{Cu}) = 25\%$ ) nazorno prikazuje razmere pri ternarni peritektični reakciji in potrjuje ugotovitve raziskovalcev<sup>3</sup>, da ima kvazikristalna *i*-faza ozko koncentracijsko območje obstojnosti (blizu  $\text{Al}_{62}\text{Cu}_{25,5}\text{Fe}_{12,5}$ ), ki se spreminja s temperaturo in je prikazano na sliki 1 s črtkano črto.

Iz izotermnega prereza aluminijevega kota ternarnega sistema Al-Cu-Fe pri 700 °C (slika 2) je razviden obstoj več heterogenih ravnotežij in intermetalnih spojin, ki v njih sodelujejo.

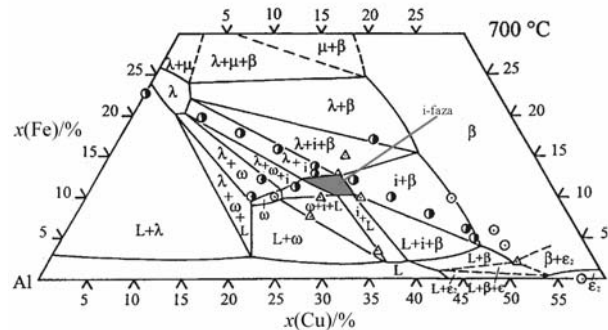
Iz izoternega prereza pri 700 °C (slika 2) je razvidno, da so lahko v ravnotežjem stanju z *i*-fazo štiri faze:  $\omega$ ,  $\lambda$ ,  $\beta$  in talina (L), v metastabilnih stanjih pa se pojavijo še dodatne faze. Cilj našega dela je bil raziskati faze, ki se pojavljajo v zlitini  $\text{Al}_{62}\text{Cu}_{25,5}\text{Fe}_{12,5}$  po litju in toplotni obdelavi.

**Tabela 1:** Najpomembnejše binarne in ternarne faze v sistemu Al-Cu-Fe v sosečini *i*-faze<sup>8</sup>  
**Table 1:** The most important binary and ternary phases in system Al-Cu-Fe in the vicinity of *i*-phase<sup>8</sup>

Stehiometrična formula spojine Stehiometric formula of the compound	Kemična sestava Chemical composition x/%	Mrežni parametri Lattice parameters	Kristalni sistem Crystal system	Pearsonov simbol Pearson's symbol
$\eta$ - AlCu	49,8 – 52,4 Cu	$a = 0,4015 \text{ nm}$ $b = 1,202 \text{ nm}$ $c = 0,8652$	Ortorombični Orthorombic	oP16
$\xi$ - Al <sub>3</sub> Cu <sub>4</sub> 590–530 °C	55,2 – 59,8 Cu	$a = 0,81 \text{ nm}$ $c = 1,000 \text{ nm}$	Heksagonalni Hexagonal	hP42
$\xi$ - Al <sub>3</sub> Cu <sub>4</sub> <570 °C	55,2 – 56,3 Cu	$a = 0,707 \text{ nm}$ $b = 0,408 \text{ nm}$ $c = 1,002 \text{ nm}$ $\beta = 90,63^\circ$	Monoklinski Monoclinic	m*21
$\theta$ - Al <sub>2</sub> Cu	31,9 – 33 Cu	$a = 0,6063 \text{ nm}$ $c = 0,487 \text{ nm}$	Tetragonalni Tetragonal	tI12
$\lambda$ - Al <sub>13</sub> Fe <sub>4</sub>	od Al <sub>78</sub> Fe <sub>22</sub> do Al <sub>73</sub> Cu <sub>5</sub> Fe <sub>22</sub>	$a = 1,5489 \text{ nm}$ $b = 0,8083 \text{ nm}$ $c = 1,247 \text{ nm}$ $\beta = 107,72^\circ$	Monoklinski Monoclinic	mC102
$\beta$ - Al(FeCu)	22,0 – 54,5 Al	$a = 0,2909 \text{ nm}$	Kubična telesno centrirana Cubic body centered	cP2
$\omega$ - Al <sub>7</sub> Cu <sub>2</sub> Fe	70 Al	$a = 0,6336 \text{ nm}$ $c = 1,487 \text{ nm}$	Urejeni tetragonalni Ordered tetragonal	tP40
<i>i</i> - Al <sub>62</sub> Cu <sub>25,5</sub> Fe <sub>12,5</sub>		$a = 0,63346$	Ikozaedrični ploskovno centrirani Icosahedral phase centred	-35m



**Slika 1:** Vertikalni prerez ternarnega sistema Al-Cu-Fe pri 25 % Cu<sup>6</sup>  
**Figure 1:** Vertical cross-section of the ternary system Al-Cu-Fe at 25 % Cu<sup>6</sup>



**Slika 2:** Izotermski prerez ternarnega faznega diagrama Al-Cu-Fe pri 700 °C v aluminijevem kotu<sup>7</sup>

**Figure 2:** Isothermal section of the ternary Al-Cu-Fe system in the Al-rich corner at 700 °C<sup>7</sup>

## 2 EKSPERIMENTALNO DELO

Zlitino Al-Cu-Fe smo izdelali v vakuumski peči LEYBOLD-HEREAUS IS pri tlaku  $10^{-2}$  bar. Kot vložek smo uporabili aluminij ( $w = 99,99\%$  in baker ( $w = 99,99\%$ ) ter predzlitino AlFe45. Lili smo v jekleno kokilo v zaščitni atmosferi argona. Izdelana zlitina je bila krhka, zato smo jo lahko zdrobili na majhne koščke, ki smo jih topotno obdelali. Zlitino smo kemično analizirali z metodo ICP-AES (optična emisijska spektrometrija z induksijsko sklopjeno plazmo), sestava zlitine je navedena v tabeli 2. Kemijska sestava je vedno navedena v množinskih deležih.

**Tabela 2:** Kemikska sestava preiskane zlitine Al-Cu-Fe  
**Table 2:** Chemical composition of the investigated Al-Cu-Fe alloy

	w/% / x(Al) %	w/% / x(Cu) %	w/% / x(Fe) %
ZLITINA 2 Al-Cu-Fe	42,9 / 64,4	37 / 22,5	20 / 13,1

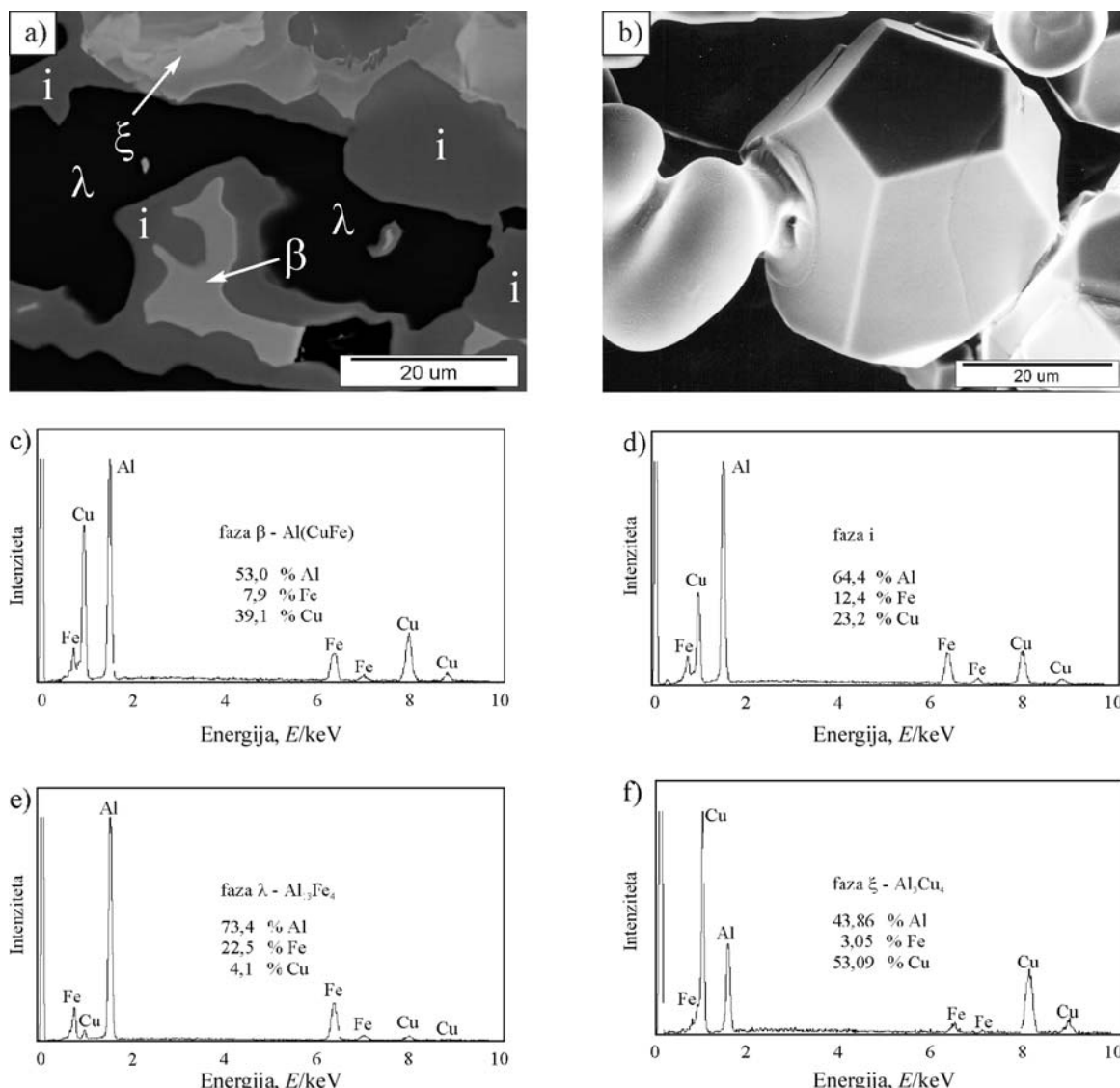
Vzorce zlitine  $\text{Al}_{64,4}\text{Cu}_{22,5}\text{Fe}_{13,1}$  smo topotno obdelali v cevni peči v zaščitni argonski atmosferi. Žarjenje je potekalo 24 h pri 750 °C (nato hitro ohlajanje) in 100 h pri 780 °C (vzorec je bil zataljen v kremenovo cevko v argonski atmosferi in v njej tudi topotno obdelan, ohlajanje je bilo počasno).

Zlitino Al-Cu-Fe smo preiskali v izhodnem litem stanju in v topotno obdelanem. Za karakterizacijo zlitine

smo uporabili sodobne raziskovalne metode, kot so: svetlobna mikroskopija (SM), elektronska vrstična mikroskopija (SEM), elektronska presevna mikroskopija (TEM), mikrokemična spektroskopska analiza (EDS) in rentgenska fazna analiza (XRD). Pri nekaterih vzorcih smo tudi merili mikrotrdoto po Vickersu  $HV 0,05$ .

### 3 REZULTATI IN DISKUSIJA

Zlitina Al-Cu-Fe v začetnem litem stanju ima kemijsko sestavo v množinskih deležih 64,4 % Al, 22,5 % Cu in 13,1 % Fe. S svetlobno in vrstično elektronsko mikroskopijo smo ugotovili štiri faze:  $i$ ,  $\lambda$ ,  $\beta$  in  $\xi$  (slika 3



**Slika 3:** Mikrostruktura in EDS-spektri faz v zlitini  $\text{Al}_{64,4}\text{Cu}_{22,5}\text{Fe}_{13,1}$  v začetnem litem stanju: a) SEM-mikrografija zlitine, b) SEM-mikrografija monokvazikristala, ki je nastal z neovirano rastjo, c) EDS-spekter faze  $\beta$ , d) EDS-spekter faze  $i$ , e) EDS-spekter faze  $\lambda$ , f) EDS-spekter faze  $\xi$

**Figure 3:** Microstructure and EDS-spectra of phases present in the alloy  $\text{Al}_{64,4}\text{Cu}_{22,5}\text{Fe}_{13,1}$  in the as-cast condition: a) SEM-micrograph, b) SEM-micrograph of a quasicrystal with pentagonal octahedral morphology. c) EDS-spectrum of phase  $\beta$ , d) EDS-spectrum of  $i$ -phase, e) EDS-spectrum of phase  $\lambda$ , f) EDS-spectrum of phase  $\xi$

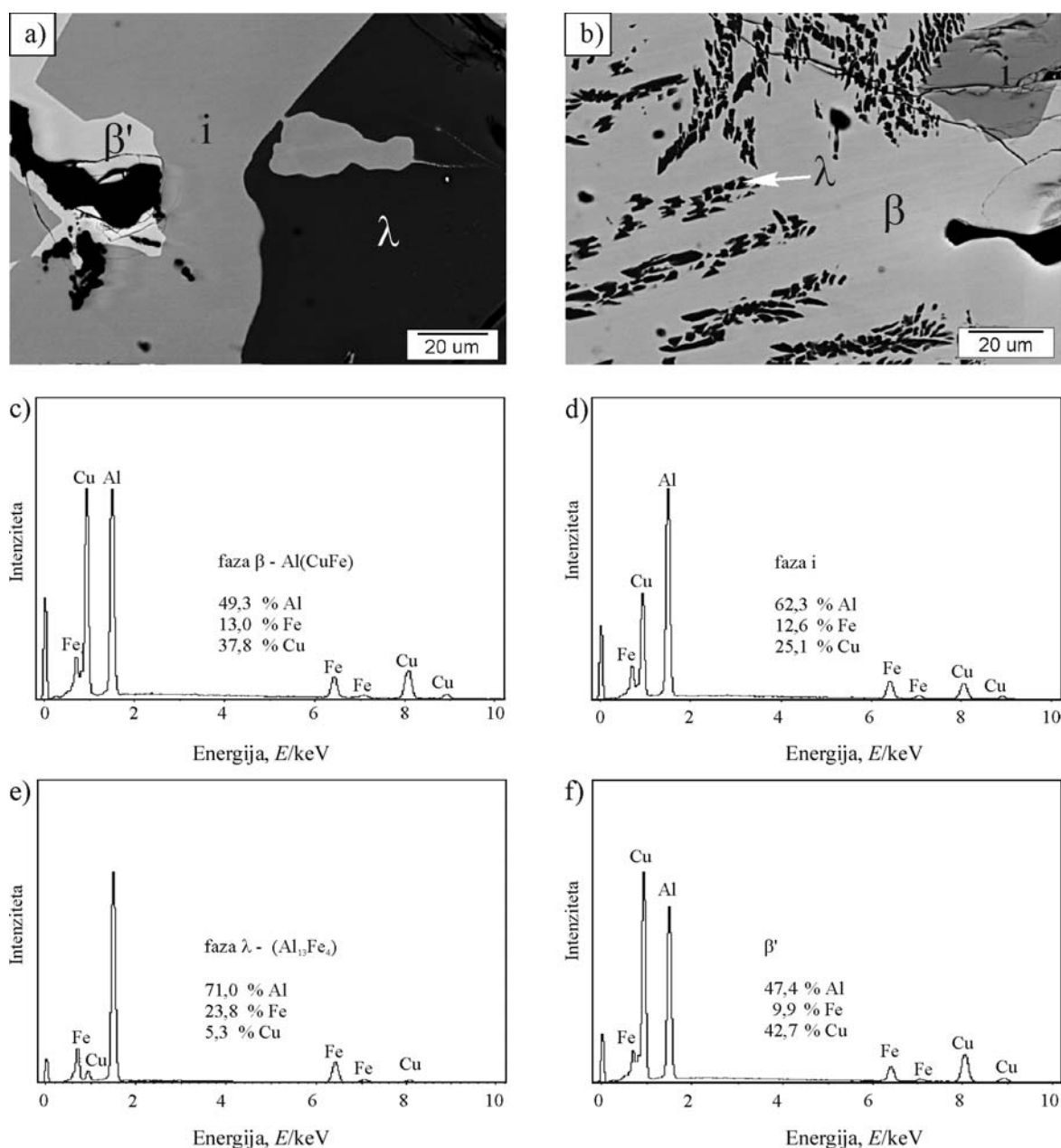
a). Kemijsko sestavo posameznih faz smo ugotovili z analizo EDS (slike 3 c do f).

Na prelomni površini so vidni monokvazikristali (slika 3 b), ki so nastali s prosto rastjo  $i$ -faze s kemijsko sestavo 64,4 % Al, 12,4 % Fe in 23,2 % Cu (slika 4 d). Navzoče so še faze  $\beta$  ( $\text{Al}(\text{Cu},\text{Fe})$ ) (slika 4 c),  $\lambda$  ( $\text{Al}_{13}\text{Fe}_4$ ) (slika 4 e) in  $\xi$ - $(\text{Al}_3\text{Cu}_4)$  (slika 3 f). Primarno se je izločala faza  $\lambda$ , vendar je bila njena količina majhna, ker je sestava zlitine zelo blizu evtektičnemu žlebu, zato kmalu poteče binarna evtektična reakcija  $L \rightarrow \lambda + \beta$  (vertikalni prerez, slika 1). Preostala talina se porabi pri

ternarni peritektični reakciji, ko nastane  $i$ -faza. Najsvetlejša faza  $\xi$  je bogata z bakrom in se nahaja v meddendritnem prostoru.

### 3.1 Mikrostruktura zlitine $\text{Al}_{64,4}\text{Cu}_{22,5}\text{Fe}_{13,1}$ po DTA

Vzorec zlitine smo kontrolirano segrevali do 1100 °C in ohlajali do sobne temperature s hitrostjo 10 K/min. S svetlobno in vrstično elektronsko mikroskopijo smo ugotovili, da so v mikrostrukturi vzorca po DTA štiri faze:  $i$ ,  $\beta$ ,  $\lambda$  in  $\beta'$  (sliki 4 a, b).



Slika 4: Mikrostruktura in EDS-spektri faz v zlitini  $\text{Al}_{64,4}\text{Cu}_{22,5}\text{Fe}_{13,1}$  po DTA: a, b) SEM posnetka mikrostrukture, c) EDS-spekter faze  $\beta$ , d) EDS-spekter faze  $i$ , e) EDS-spekter faze  $\lambda$ , f) EDS-spekter faze  $\beta'$

Figure 4: Microstructure and EDS-spectra of phases present in the alloy  $\text{Al}_{64,4}\text{Cu}_{22,5}\text{Fe}_{13,1}$  after DTA: a, b) SEM-micrographs, c) EDS-spectrum of phase  $\beta$ , d) EDS-spectrum of  $i$ -phase, e) EDS-spectrum of phase  $\lambda$ , f) EDS-spectrum of phase  $\beta'$

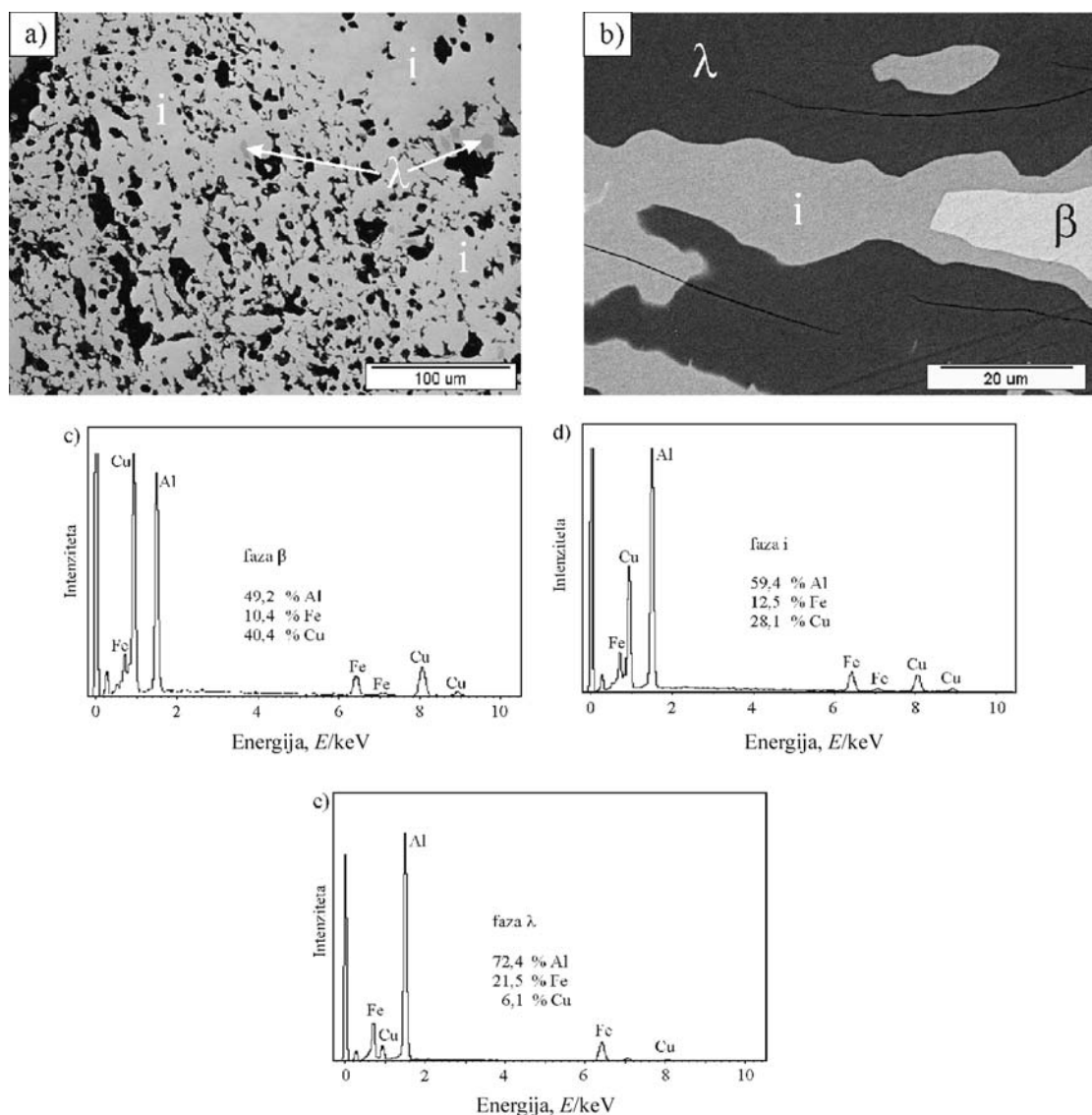
Pri strjevanju je primarno nastajala faza  $\lambda$ , kasneje je potekla še binarna evtektična reakcija, kjer sta se iz taline hkrati izločali fazi  $\lambda$  in  $\beta$ . Glede na verikalni prerez ternarnega faznega diagrama (slika 1) poteče pri ravnotežnem strjevanju peritektična reakcija, kjer se tvori  $i$ -faza po reakciji:  $\lambda + \beta + L \rightarrow i$ . Pri nižjih temperaturah  $i$ -faza evtektoidno razpade v fazi  $\lambda$  in  $\beta$ . Na sliki 4 a je  $\lambda$  prikazana v dendritni obliki, ki je obdana z  $i$ -fazo. Na sliki 4 b je  $\lambda$  prikazana v obliki peresastih delcev, ki je obdana s fazo  $\beta$ . Prisotna je še faza  $\beta'$  (najsvetlejša faza na sliki 4 a), ki ima glede na EDS-analizo (slika 4 f) od vseh analiziranih faz v tem vzorcu največji množinski delež bakra (42,7%).

Strjevanje zlitine v začetnem stanju in pri DTA je bilo neravnotežno, le da je bilo pri DTA počasnejše.

Razlika se pokaže pri strjevanju preostale taline pri nižjih temperaturah. V začetnem litem stanju nastane faza  $\xi$ -( $\text{Al}_3\text{Cu}_4$ ), ki ima okoli 3 % Fe in okoli 53 % Cu. Po drugi strani nastane v DTA-vzorcu, ki se je kontrolirano ohlajal s hitrostjo 10 K/min, nazadnje faza  $\beta'$  s sestavo okoli 10 % Fe in 43 % Cu. Nastanek faze  $\beta'$  je povezan s pomikom sestave zlitine k manjšim deležem železa in z oteženim nastankom  $\omega$ -faze<sup>4</sup>.

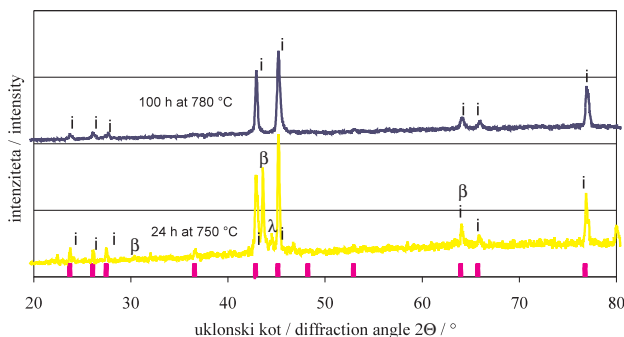
### 3.2 Toplotno obdelano stanje 24 h pri 750 °C

Vzorec zlitine  $\text{Al}_{64,4}\text{Cu}_{22,5}\text{Fe}_{13,1}$  je bil 24 h žarjen pri 750 °C in hitro ohlajen. Na sliki 5a je prikazan vzorec v poliranem stanju. Zaradi toplotno aktiviranih procesov v



Slika 5: Mikrostruktura in EDS-spektri faz v zlitini  $\text{Al}_{64,4}\text{Cu}_{22,5}\text{Fe}_{13,1}$  v topotno obdelanem stanju (24 h pri 750 °C): a) pregledni SEM-posnetek, b) SEM-posnetek, c) EDS-spekter faze  $\beta$ , d) EDS-spekter faze  $i$  in e) EDS-spekter faze  $\lambda$

Figure 5: Microstructure and EDS-spectra of phases present in the alloy  $\text{Al}_{64,4}\text{Cu}_{22,5}\text{Fe}_{13,1}$  after heat treatment (24 h at 750 °C): a, b) SEM-micrographs, c) EDS-spectrum of phase  $\beta$ , d) EDS-spectrum of  $i$ -phase, e) EDS-spectrum of phase  $\lambda$

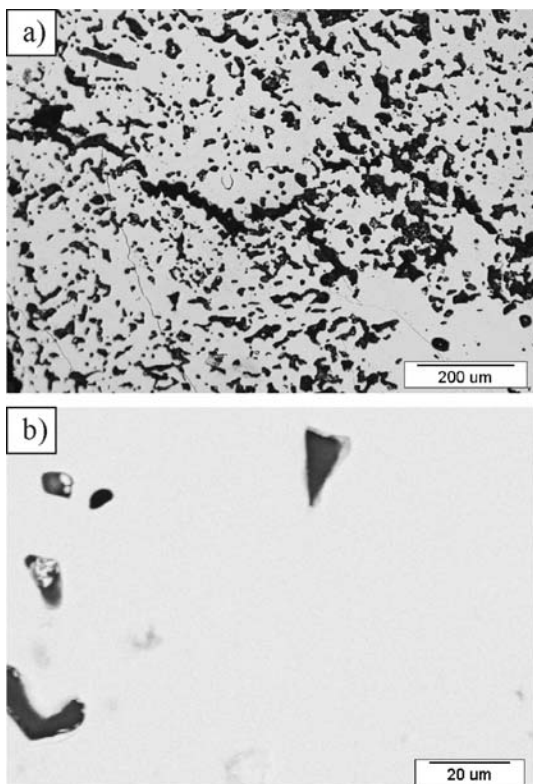


**Slika 6:** Rentgenska fazna analiza (XRD) toplotnoobdelane zlitine  $\text{Al}_{64,4}\text{Cu}_{22,5}\text{Fe}_{13,1}$

**Figure 6:** X-ray diffraction of the heat-treated alloy  $\text{Al}_{64,4}\text{Cu}_{22,5}\text{Fe}_{13,1}$

trdnem je celoten vzorec močno porozen, pojavi pa se tudi spremembfa fazne sestave.

Mikrostruktura je sestavljena iz najsvetlejše faze  $\beta$  ( $\text{Al}(\text{Cu},\text{Fe})$ ) (slika 5 c),  $i$ -faze (slika 5 d) in faze  $\lambda$  ( $\text{Al}_{13}\text{Fe}_4$ ) (slika 5 e). Glede na vertikalni prerez ternarnega faznega diagrama Al-Cu-Fe (slika 1) je bila temperatura  $750\text{ }^{\circ}\text{C}$  za zlitino  $\text{Al}_{64,4}\text{Cu}_{22,5}\text{Fe}_{13,1}$  prenizka in čas žarjenja prekratek, da bi dosegli enofazno področje  $i$ -faze ali dvofazno področje ( $\lambda + i$ ). Prisotnost faz smo potrdili z EDS-analizo in rentgensko fazno analizo (XRD) (slika 6).



**Slika 7:** Mikrostruktura zlitine  $\text{Al}_{64,4}\text{Cu}_{22,5}\text{Fe}_{13,1}$  v toplotno obdelanem stanju (100 h pri  $780\text{ }^{\circ}\text{C}$ ): a) pregledni SM posnetek, b) SEM posnetek

**Figure 7:** a) Optical micrograph and b) SEM-micrograph of the alloy  $\text{Al}_{64,4}\text{Cu}_{22,5}\text{Fe}_{13,1}$  in heat-treated condition (100 h at  $780\text{ }^{\circ}\text{C}$ , slow cooling)

### 3.3 Toplotno obdelano stanje 100 h pri $780\text{ }^{\circ}\text{C}$

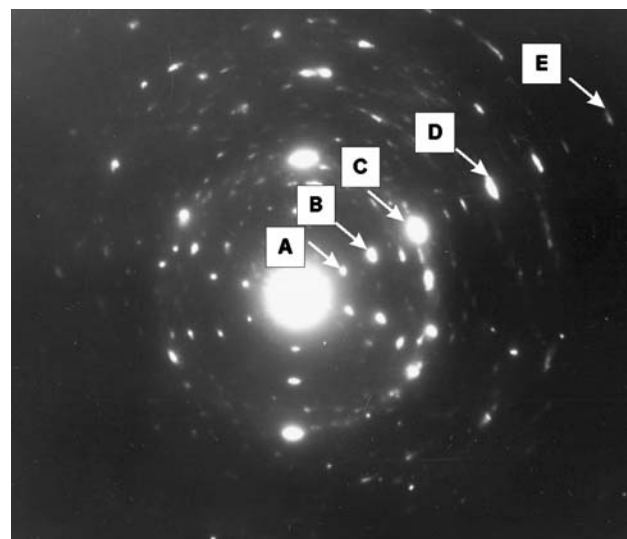
Vzorec zlitine smo žarili tudi 100 h na temperaturi  $780\text{ }^{\circ}\text{C}$  in počasi ohladili, kar je omogočilo približanje ravnotežnim razmeram ohlajanja. Majhna temperaturna razlika ( $30\text{ }^{\circ}\text{C}$ ) pri žarjenju in daljši čas žarjenja glede na toplotno obdelavo pri  $750\text{ }^{\circ}\text{C}$  povzročita velike razlike v mikrostrukturi. Po končanem žarjenju dobimo enofazno kvazikristalno strukturo (sliki 7 a in b).

Značilno kvazikristalno strukturo smo potrdili s presevno elektronsko mikroskopijo (TEM) (slika 8) in meritvami mikrotrdote, prisotnost kvazikristalne  $i$ -faze pa tudi z rentgensko fazno analizo (XRD) (slika 6).

Z uklonske slike 8 je razvidna značilnost kvazikristalne strukture – ni periodičnega vzorca. V šestih smereh se razdalje med uklonskimi lisami povečujejo s  $\tau$ , ki je  $(1 + \sqrt{5})/2$ . Uklonske lise so med seboj oddaljene v razmerju  $\tau \approx 1.6$ . Tako razmerje velja med razdaljami BC/AB, DC/CB in DE/CD (slika 8). Z merjenjem mikrotrdote smo ugotovili, da je  $HV 0,05\ 942 \pm 15$ , kar je skladno s podatki iz literature<sup>5</sup>.

## 4 SKLEPI

Zlitina  $\text{Al}_{64,4}\text{Cu}_{22,5}\text{Fe}_{13,1}$  vsebuje v začetnem litem stanju štiri faze:  $\lambda$ ,  $i$ ,  $\beta$  in  $\xi$ . Enako število faz je bilo tudi po nadzorovanem ohlajanju z  $10\text{ K/min}$ , le da se je namesto faze  $\xi$  pojavila faza  $\beta'$ . Pri počasnem ohlajanju zlitine v začetnem litem stanju so bile ustvarjene razmere za neovirano rast kvazikristalov iz taline. Nastali monokvazikristali so imeli obliko pentagonalnega dodekaedra.



**Slika 8:** Uklonska slika (TEM) na zdobjenih delcih zlitine  $\text{Al}_{64,4}\text{Cu}_{22,5}\text{Fe}_{13,1}$  v toplotno obdelanem stanju (100 h pri  $780\text{ }^{\circ}\text{C}$ , počasno ohlajanje)

**Figure 8:** Selected area diffraction pattern of broken particles of the alloy  $\text{Al}_{64,4}\text{Cu}_{22,5}\text{Fe}_{13,1}$  in the heat-treated condition (100 h at  $780\text{ }^{\circ}\text{C}$ , slow cooling)

Z ustreznem topotomno obdelavo se je delež faze *i* povečal. Po 24-urnem žarjenju zlitine  $\text{Al}_{64,4}\text{Cu}_{22,5}\text{Fe}_{13,1}$  na 750 °C se je močno povečal delež faze *i*, vendar pa sta bili v zlitini še vedno fazi  $\lambda$  in  $\beta$ . Toda po 100-urnem žarjenju na 780 °C in počasnem ohlajanju do sobne temperature, je ternarna peritekтиčna reakcija  $\text{L} + \lambda + \beta \rightarrow i$  potekla v celoti, tako je nastala enofazna kvazikristalna mikrostruktura. Kvazikristalna faza je imela trdoto *HV* okoli 1000.

Na osnovi raziskav lahko sklenemo, da lahko v zlitini  $\text{Al}_{64,4}\text{Cu}_{22,5}\text{Fe}_{13,1}$  s primerno topotomno obdelavo dosežemo enofazno kvazikristalno mikrostrukturo. Prisotnost kvazikristalne faze *i* v raziskovanih zlitinah iz sistema Al-Cu-Fe smo zanesljivo potrdili s presevno elektronsko mikroskopijo in rentgensko fazno analizo.

## 5 LITERATURA

- <sup>1</sup> D. S. Shechtman, I. Blech, D. Gratias, J. W. Cahn: *Phy. Rev. Lett.*, 53 (1984), 1951–1953
- <sup>2</sup> Quasicrystals, Structure and Physical Properties. Edited by Hans-Rainer Trebin: Wiley-VCH GmbH & Co. KgaA, Weinheim, 2003, 2–23
- <sup>3</sup> A. P. Tsai, A. Inoue, T. A. Masumoto, *Jpn. J. Appl. Phys.*, 26 (1987), L1505–L1507
- <sup>4</sup> L. Zhang, R. Lück, *Z. Metallkunde* 94 (2003) 2, 774–781
- <sup>5</sup> E. Giacometti, N. Baluc, J. Bonneville and J. Rabier, *Scripta Materialia*, 41 (1999) 9, 989–994
- <sup>6</sup> L. Zhang, R. Lück *Z. Metallkunde* 94 (2003) 2, 98–107
- <sup>7</sup> L. Zhang, R. Lück, *Z. Metallkunde* 94 (2003) 2, 108–115
- <sup>8</sup> Ternary Alloys. Edited by G. Petzow and G. Effenberg: VCH Verlagsgesellschaft, Weinheim, 1988, 475–489, 361–362